

تطبيق دادن ((مدها^(۱))) در مسائل ناهمواری های (۲)

میگر و موج توسط روش عددی کمترین مربع ها (۳)

نوشته :

همایون عریضی

دکتر مهندس از دانشگاه سیراکوس - مؤسسه عالی آموزش ارتباطات بیسیم پهلوی

چکیده :

میدان الکترومغناطیس درون قسمت های مختلف یک شبکه میکروموج را توسط بسط مدی (۴) مناسب تقریب میکنیم . تمام شرایط حدی را روی حدود و فصل مشترك مناطق بینوسییم و انتگرال مجذور اندازه هر کدام را بر روی سطوح فصل مشترك مناطق مختلف میگیریم . مجموع انتگرال ها را تابع خطائی (۵) مینامیم که تابع مثبت و درجه دوم ضرائب مدی است . تابع خطائی فقط یک مینیمم دارد و برای بدست آوردن آن کافی است یک معادله خطی بر حسب ضرائب مدی (۶) مجهول حل کنیم . این دسته معادله های خطی چند مجهولی را میتوان مستقیماً از شرائط حدی بدست آورد . تنها مینیمم این تابع خطائی بهترین راه تطبيق مدها را از نظر روش کمترین مربع ها میدهد . این روش برای حل مسائل ناهمواریهای گوناگونی قابل استفاده میباشد . در اینجا فقط از اتصال (۷) دو موج بر با صفحات موازی و دو موج بر با مقطع مستطیلی بحث میکنیم . منبع تغذیه ممکن است مدی پخش شونده بوده و یا جریان برق سطحی (سوله ای) بر روی سطح مقطع موج بر باشد . عامل وزنی (۸) دلخواهی در خطای مربوط به شرط حدی روی میدان مغناطیسی ضرب میشود و در اینجا مورد بررسی قرار میگیرد و اصل بقای انرژی را بعنوان معیاری برای انتخاب این عامل بکار میبریم .

-
- | | | |
|---------------------------------------|-------------------------|------------------------------|
| 1. mode | 2. discontinuity انفصال | 3. method of least squares |
| 4. modal expansion گسترش مدی | | 5. error function تابع براهی |
| 6. modal coefficient, modal amplitude | | 7. junction پیوندگه |
| 8. weighting factor | | |

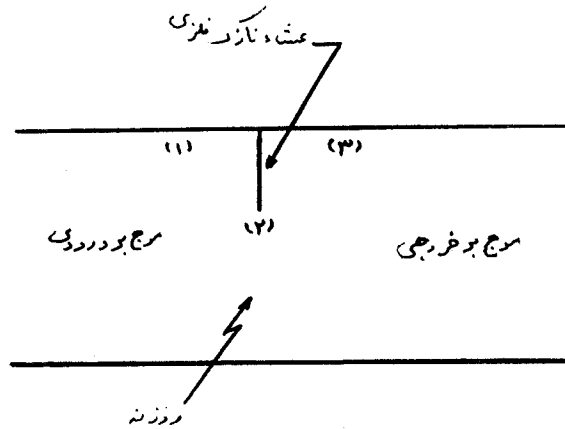
حل مسائل ناهمواریهای موج برها توسط روش های گوناگون ریاضی منجر به تجزیه و تحلیل پیچیده ای میشود. حل مسائل ساده ناهمواریها به روش ریاضی در بسیاری مواد تقریبی است. روش تغییری^(۱) که شوینگر^(۲) در جنگ دوم جهانی ابداع کرد برای بعضی از مسائل ناهمواریهای میکروموج بکار برده شده است.

با ظهور و توسعه ماشین های محاسبه مهندسی میکروموج در پی کشف روش های عددی^(۳) برآمدند. در مراجع [۱ و ۲ و ۳ و ۴] روش های عددی برای اتصال دوموج براستوانه ای تدوین شده است، و در حقیقت مشابه یکدیگر میباشند. اتصال دوموج براستوانه ای با محورهای موازی را در نظر میگیریم. میدان الکترومغناطیس درون هر دو را توسط سری مدی بسط میدهیم. عبارت های شرایط حدی را روی سطح پیوند گاه سینوسیم و هر کدام را در تابع مدی^(۴) مناسب ضرب خارجی میکنیم و التکرال عبارتهای حاصل را روی سطوحی که هر کدام صادق هستند میگیریم و از شرایط تعامد^(۵) توابع مدی استفاده میکنیم. بدین ترتیب یک مجموعه معادله های خطی نسبت به ضرایب مدی مجهول حاصل میشود. سپس از روش های معمولی حل معادلات خطی چند مجهولی میتوانیم استفاده کنیم.

در این روش پدیده تقارب نسبی^(۶) ظاهر میشود که میترا در [۴] درباره آن بحث میکند. یعنی نسبت بین تعداد مدهائی که در موج برهای مختلف اختیار میکنیم فقط میتواند مقادیر معینی باشد. به عبارت دیگر بررسی ریاضی نشان میدهد که این روش برای بعضی نسبت ها منجر به ماتریس منفرد^(۷) میشود. موج بری با صفحات موازی^(۸) اتخاذ میکنیم و غشاء نازک فلزی^(۹) مستطیلی شکلی را در مقطع آن در تماس با یکی از صفحات مطابق شکل ۱ قرار میدهیم. به این ترتیب سه موج بر به طور متوالی بهم متصل شده است. موج بر میانی که از غشاء نازک فلزی تشکیل شده دارای طول قابل اغماض میباشد. میدان درون هر سه موج بر را توسط سری مدی بسط میدهیم. در مرجع [۷] نشان داده شده است که در روش عددی مذکور تعداد مدهای موج بر میانی (میدان روزنه^(۱۰)) باید از تعداد مدهای دوموج بر دیگر کمتر باشد. در این روش میدانی برای روزنه (موج بر میانی با طول ناچیز) فرض میکنند. این روش دارای محدودیت هائی است. حالتی که مقطع موج بر خروجی کوچکتر بوده و درون آن جای دارد و حالت عکس آن که مقطع موج بر خروجی را احاطه میکند. باید جداگانه حل شود. دوموج بر ورودی و خروجی دارای محورهای

- | | | |
|--------------------------------------|-----------------------------|------------------------|
| 1. variational method | 2. J. Schwinger | 3. numerical algorithm |
| 4. mode function | 5. orthogonal condition | 6. relative condition |
| 7. singular | 8. parallel plate waveguide | |
| 9. conducting diaphragm, iris دیواره | | 10. aperture |

موازی هستند و سطح ناهمواری باید منطبق بر مقطع موج بر باشد به عبارت دیگر ناهمواری باید در صفحه‌ای باشد که عمود بر محور موج برها است. مثلاً موج بر خم دار^(۱) را نمیتوان بدینسان مورد بررسی قرار داد.



شکل ۱ - موج بر باصفحات موازی دارای غشاه نازک فلزی در مقطع

از طرف دیگر تعامد توابع مدی را باید مسجل کنیم. اگر توابع مدی متعامد نیستند باید آنها را توسط روشی مانند روش گرام اشمیت^(۲) متعامد کرد.

در این مقاله روش عددی عمومی برای ارضای شرایط حدی ناهمواری موج برها با استفاده از روش کمترین مربع ها ارائه می‌دهیم، که فاقد اشکالات فوق است. هر مقدار نسبی را میتوان برای تعداد مدها در قسمت‌های مختلف موج برها انتخاب کرد. سه حالت کوچک شدن و بزرگ شدن مقطع موج بر خروجی در پیوندگاه و حالتی که حدود یکی از دو موج بردر دیگر احاطه نشده است در هم ادغام شده‌اند. تعامد توابع مدی لازم نیست. سطح ناهمواری میتواند در صفحه‌هایی غیر از مقطع موج بر واقع باشد. روش کمترین مربع ها کاملاً پایدار^(۳) میباشد و اندازه اجزاء قطری ماتریسی که باید معکوس شود رویهمرفته از اجزاء دیگر ماتریس بزرگتر است. شاید روش کمترین مربع ها برای حل مسائل ناهمواریهای موج برهای دایره‌ای بهتر مناسب باشد چون در این موج برها مدهای دژنره ظاهر میشود. روش کمترین مربع ها که در اینجا شرح میدهم برای نوشتن برنامه‌های عمومی کامپیوتر بسیار مناسب است و استفاده کننده خواهان چنین برنامه‌های عمومی میباشد، اگر چه بازده محاسبات بخاطر عمومیت برنامه چندان زیاد نیست.

1. waveguide bend

2. Gram-Schmidt

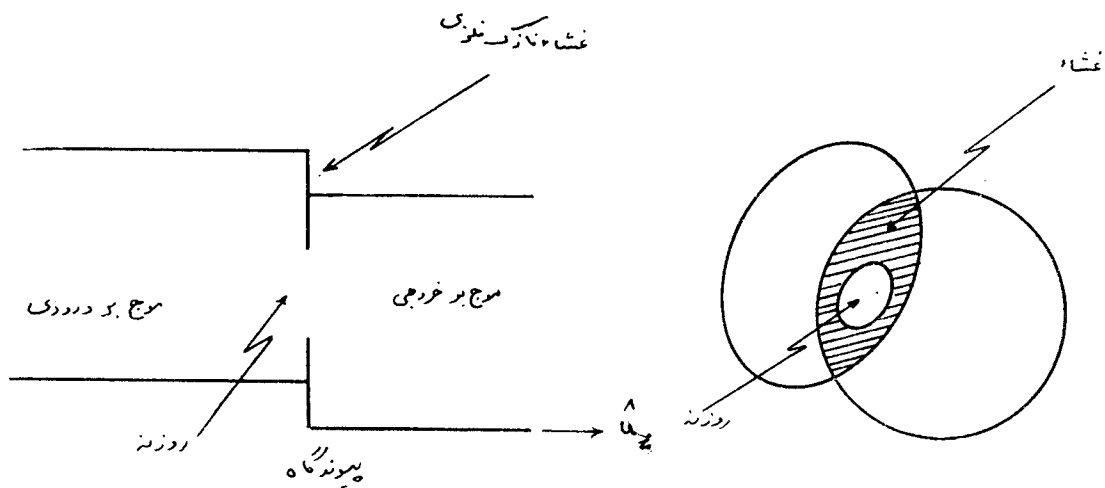
3. stable

4. degeneracy

توصیف روش عددی کمترین مربعها

اتصال دو موج براستوانه‌ای را مطابق شکل ۲ در نظر می‌گیریم . فرض می‌کنیم موج برها از هوا پر شده و محور دو موج بر سوازی یکدیگر است . فرض میشود موج بر خروجی طرف راست پیوندگاه قرار دارد و با بار خود منطبق شده است . (در موج بر خروجی موج منعکس شده موجود نیست) میدان الکترومغناطیس درون موج برها را توسط بسط سری مدی مینویسیم :

$$\begin{aligned} \mathbf{E}^1 &= \sum_m (A_m^+ \exp(-\gamma_m Z) + A_m^- \exp(\gamma_m Z)) \mathbf{e}_m^1 & z \leq 0 \\ \mathbf{H}^1 &= \sum_m (A_m^+ \exp(-\gamma_m Z) - A_m^- \exp(\gamma_m Z)) \mathbf{h}_m^1 \\ \mathbf{E}^2 &= \sum_p B_p \exp(-\Gamma_p Z) & z \geq 0 \\ \mathbf{H}^2 &= \sum_p B_p \exp(-\Gamma_p Z) \end{aligned} \quad (1)$$



شکل ۲ - پیوندگاه دو موج براستوانه‌ای

زیر نویس ۱ و ۲ به ترتیب موج برورودی و خروجی را نشان میدهد . تابع های مدی برداری \mathbf{e}_m^1 و \mathbf{h}_m^1 و \mathbf{e}_p^2 و \mathbf{h}_p^2 تابع مختصات مقطع موج بر مربوطه است . موج بر را توسط مد تابش با دامنه مدی A_m^+ و یا یک صفحه جریان برق الکتریکی \mathbf{J} و یا یک صفحه جریان مغناطیس \mathbf{M} روی قسمتی از سطح پیوندگاه تغذیه (تحریک) می‌کنیم . دامنه مدهای بازتاب A_m^- و دامنه مدهای گذری B_p هستند . ثابت های

انتشار به ترتیب در موج بر ورودی و خروجی γ_m و Γ_p است، شرایط حدی مؤلفه‌های میدان مماس بر سطح اتصال برای $z=0$

$$\hat{u}_z \times (\mathbf{H}^2 - \mathbf{H}^1) = \mathbf{J} \quad \text{و} \quad (\mathbf{E}^2 - \mathbf{E}^1) \times \hat{u}_z = \mathbf{M} \quad (2)$$

است. برداری که \hat{u}_z عمود بر مقطع میباشد و به درون موج بر خروجی (دوم) مستند است. شرایط حدی برای مؤلفه‌های عمود به سطح پیوندگاه خود به خود پس از ارضای شرایط حدی مؤلفه‌های مماس (2) حاصل میشود.

برای ارضای شرایط حدی از روش کمترین مربع‌ها استفاده میکنیم و یک تابع بیراهی میسازیم. برای ساختن این تابع انتگرال سطحی حاصل ضرب هر عبارت شرایط حدی را با مزدوج خود روی سطوح پیوندگاه که هر کدام صادق است میگیریم و عبارت‌های حاصل را جمع میکنیم.

$$\begin{aligned} \varepsilon = \alpha \int_{ap} |\hat{u}_z \times (\mathbf{H}^2 - \mathbf{H}^1) \mathbf{J}|^2 ds + \int_{ap} |\hat{u}_z \times (\mathbf{E}^2 - \mathbf{E}^1) + \mathbf{M}|^2 ds \\ + \int_{c(1)} |\mathbf{E}^1|^2 ds + \int_{c(2)} |\mathbf{E}^2|^2 ds \end{aligned} \quad (3)$$

$c(1)$ سطح غشاء فلزی را در پیوندگاه به طرف موج بر ورودی و $c(2)$ سطح غشاء فلزی را در پیوندگاه به طرف موج بر خروجی نشان میدهد. ap سطح روزه‌ها را در پیوندگاه مشخص میکند. تابع ε حقیقی و مثبت است و تابع درجه دوم نسبت به ضرایب مدی میباشد. هرگاه شرایط حدی ارضاء شوند تابع خطائی ε صفر میشود. بواسطه یگانگی میدان الکترومغناطیس درون موج بر تنها مینیمم بیراهی ε مجموعه مدها و ضرایب مدی آنها را که در مسئله مخصوصی تحریک میشوند بدست میدهد. ولی در عمل بواسطه اینکه تعداد معدودی مد انتخاب میکنیم، مینیمم خطا صفر نیست. و این مینیمم ضرایب مدی را برای بهترین تقریب شرایط حدی از نظر کمترین مربع‌ها میدهد. عامل وزنی α را در خطای جزئی مربوط به شرایط حدی میدان مغناطیس ضرب میکنیم تا آنکه اندازه‌اش هم‌پای اندازه خطای جزئی مربوط به شرایط حدی میدان الکتریکی گردد. هر روش عددی پیدا کرد مینیمم⁽¹⁾ یک تابع چندمتغیری را میتوان بکار برد. مشتق‌های نسبی تابع خطائی نسبت به جزء حقیقی و موهومی ضرایب مدی باید در نقطه مینیمم صفر شود. به همین مشتق‌های نسبی نسبت به ضرایب مدها و مزدوج آنها در نقطه مینیمم باید صفر شود. بهر حال چون خطای ε حقیقی است رابطه $\frac{\partial \varepsilon}{\partial A_n} = \left(\frac{\partial \varepsilon}{\partial A_n^*} \right)^*$ باید صادق باشد. علامت ستاره مزدوج متغیر مختلط را نشان میدهد.

بنابراین کافیت که مشتقهای نسبی ε را نسبت به ضرائب مدی مساوی صفر قرار دهیم ، چون مشتقهای نسبی ε نسبت به مزدوج ضرائب مدی خود به خود صفر خواهد شد . بنابراین برابر تعداد ضرائب مدی مجهول معادله های خطی نسبت به این ضرائب بدست میآوریم . اکنون شرائط حدی را بصورت بردار

$$\omega' = [V\alpha \hat{u}_z \times (\mathbf{H}^2 - \mathbf{H}^1) - \mathbf{J}, \hat{u}_z \times (\mathbf{E}^2 - \mathbf{E}^1) + \mathbf{M}, \mathbf{E}_t^1 \text{ و } \mathbf{E}_t^2] \quad (4)$$

مینویسیم . جزء اول و دوم بردار بر روی سطوح وزنه ها صادق است . جزء سوم و چهارم بخاطر صفر شدن مؤلفه میدان الکتریکی محاس برغشاء فلزی میباشد که به ترتیب بطرف موج بر ورودی و خروجی است . معادله را میتوان بصورت :

$$\omega = \mathbf{L}\mathbf{V} - \mathbf{f} \quad (5)$$

نوشت اجزاء بردار $\mathbf{V}' = (A_m^-, B_p)$ ضرائب مدی بازتاب A_m^- و گذری B_p است . علامت « ' » برای برگردان ماتریسی \mathbf{V} است . بردار محرك^(۱) است و بخاطر ضریب مدی تابش A_m^+ و جریان الکتریکی \mathbf{J} و جریان مغناطیسی \mathbf{M} است . \mathbf{L} ماتریسی است که به توابع مدی بستگی دارد . تابع خطائی ε را میتوانیم بصورت :

$$\varepsilon = \int_{\text{سطح حدود}} \omega \cdot \omega^* ds = \int (\mathbf{L}\mathbf{V} - \mathbf{f}) \cdot (\mathbf{L}\mathbf{V} - \mathbf{f})^* ds \quad (6)$$

بنویسیم بنابراین :

$$\varepsilon = \mathbf{V}^* \langle \mathbf{L}^*, \mathbf{L} \rangle \mathbf{V} - \mathbf{V}^* \langle \mathbf{L}^*, \mathbf{f} \rangle - \langle \mathbf{f}^*, \mathbf{L} \rangle \mathbf{V} + \langle \mathbf{f}^*, \mathbf{f} \rangle \quad (7)$$

کارگردان^(۲) « , » برای ضرب دو ماتریس تعریف میشود که انتگرال هر جزء ماتریس حاصل ضرب را روی سطوحی که هر کدام صادق است میگیریم . علامت * در اینجا عمل های مزدوج کردن و برگردان کردن ماتریس را نشان میدهد . بنابراین مشتق های نسبی ε در معادله (۷) نسبت به مزدوج ضرائب مدی براحتی بدست میآید :

$$\left[\frac{\partial \varepsilon}{\partial A_m^*}, \frac{\partial \varepsilon}{\partial B_p^*} \right]' = \langle \mathbf{L}^*, \mathbf{L} \rangle \mathbf{V} - \mathbf{L}^* \langle \mathbf{f}^*, \mathbf{f} \rangle$$

بحث دیگری برای بدست آوردن معادله ماتریسی فوق در (۱۳) آمده است . انواع مختلف ناهمواریها را مثل موج بره های خم دار ، چند موج بر متوالی^(۳) ، موج بر دو قسمت شده^(۴) ، پیوند گاه چند موج بر^(۵) ،

1. forcing vector

2. operator

3. cascade of waveguides

4. bifurcation

5. multiple waveguide junction

موج پرهائی که نیمه تمام با عایق پر شده است^(۱)، میله‌های^(۲) فلزی که احیاناً توسط جریان برق تغذیه میشود و غیره را میتوان توسط روش کمترین مربع‌ها حل کرد. در فوق این روش را برای اتصال دو موج بر استوانه‌ای بکار بردیم ولی نتایج عمومیت دارند. دستوالعمل اینست که تمام شرایط حدی را بصورت معادله ماتریسی:

$$LV=f \quad (۸)$$

بنویسیم. و حاصلضرب داخلی معادله (۸) را با L^* طبق عملیاتی که در فوق ذکر شده بدست آوریم - ماتریس L^* مزدوج و برگردان ماتریس L است.

$$\langle L^*, L \rangle V = \langle L^*, f \rangle \quad (۹)$$

که معادله‌ای است خطی نسبت به ضرائب مدی مجهول V . ماتریس $\langle L^*, L \rangle$ هرمی‌تی^(۳) است (اگر مزدوج ماتریس هرمی‌تی را برگردان کنیم مساوی خودش خواهد بود). روش‌های عددی مخصوصی^(۴) برای معکوس کردن ماتریس هرمی‌تی وجود دارد که سرعت آنها دو برابر سرعت معکوس کردن ماتریس معمولی باهمان بعد است. بعلاوه برای ذخیره کردن ماتریس هرمی‌تی در حافظه کامپیوتر احتیاج به نصف فضای لازم برای ذخیره ماتریس معمولی است.

عامل وزنی

با انتخاب درست عامل α ممکن است با تعداد معدودی مد مقدار خوبی (با خطای نسبی کم) برای مدار معادل یک ناهمواری بدست آورد.

در اینجا بعضی از خواص این عامل را بررسی میکنیم، و معیاری برای انتخاب آن میدهیم. الف - برای تعداد معینی مد تابع خطائی را بصورت $\varepsilon = \varepsilon^e + \alpha \varepsilon^h$ مینویسیم. تابع ε^e بواسطه خطای شرط حدی میدان الکتریکی است و تابع ε^h بواسطه خطای شرط حدی میدان مغناطیسی است. دوخطای

$$\varepsilon_1 = \varepsilon_1^e + \alpha \varepsilon_1^h \quad (۱۰)$$

و:

$$\varepsilon_2 = \varepsilon_2^e + (\alpha + \Delta\alpha) \varepsilon_2^h \quad (۱۱)$$

را در نظر میگیریم - زیر نویس α معرف آنستکه مینیمم ε را برای تعداد معینی از ضرائب مدی و عامل α محاسبه میکنیم.

1. partially filled waveguide

2. probe

3. hermitian

4. Cholesky

5. equivalent circuit

به همین ترتیب زیرنویس ۲ معرف آنستکه مینیمم ε را برای همان ضرائب مدی ولی برای عامل α محاسبه میکنیم . اگر تابع خطائی ε را برای هر مجموعه ای از ضرائب مدی به غیر از مجموعه ای که مینیمم آنرا میدهد حساب کنیم خطا البته بزرگتر میشود . بنابراین :

$$\varepsilon_1 < \varepsilon_2^e + \alpha \varepsilon_2^h \quad (12)$$

اگر نامساوی (۱۲) را از نامساوی (۱۱) کم کنیم :

$$\varepsilon_2 - \varepsilon_1 > \Delta \alpha \varepsilon_2^h \quad (13)$$

چون ε_2^h همیشه مثبت است ، نتیجه میگیریم که هرگاه مقدار α زیاد شود یعنی $\Delta \alpha$ افزایش یابد مقدار مینیمم ε نیز افزایش مییابد . بنابراین ε تابع صعودی α است . از اینرو مقدار پیراهمی ε نمیتواند بعنوان معیاری برای انتخاب عامل α بکار برده شود .

ب - واضح است :

$$\varepsilon_1^e + \alpha \varepsilon_1^h < \varepsilon_2^e + \alpha \varepsilon_2^h \quad (14)$$

چون برای عامل α ، ضرائب مدی که مینیمم خطا را میدهد با زیرنویس ۱ مشخص میشود و هرگاه خطارا برای مقادیر دیگری از ضرائب مدی حساب کنیم خطا بزرگتر میشود . به همین منوال :

$$\varepsilon_2^e + (\alpha + \Delta \alpha) \varepsilon_2^h < \varepsilon_1^e + (\alpha + \Delta \alpha) \varepsilon_1^h < \varepsilon_2^e + \alpha \varepsilon_2^h + \Delta \alpha \varepsilon_1^h$$

برای نامساوی دست راست از نامساوی (۱۴) استفاده میشود . عبارت دست چپ و دست راست نامساوی فوق به :

$$\Delta \alpha \varepsilon_2^h < \Delta \alpha \varepsilon_1^h \quad (15)$$

ساده میشود . بنابراین هرگاه مقدار α افزایش یابد مقدار خطای مربوط به میدان مغناطیسی کم میشود . نامساوی (۱۴) را نیز میتوان بصورت :

$$\varepsilon_2^e - \varepsilon_1^e > \alpha(\varepsilon_1^h - \varepsilon_2^h) \quad (16)$$

نوشت . بنابراین میتوانیم نتیجه بگیریم که افزایش عامل α بهتر شرائط حدی میدان مغناطیسی را ارضاء میکند ، چون ε^h کوچکتر میشود و ارضای شرائط حدی میدان الکتریکی ضایع میشود ، چون ε^e بزرگتر میشود برعکس میتوان نشان داد که کاهش عامل α ارضای شرائط حدی میدان مغناطیسی را بدتر میکند و ارضای شرائط حدی روی میدان الکتریکی را بهتر میکند .

پ - اگر عامل α را ثابت نگه داریم تعداد مدها را زیاد کنیم ، مقدار خطا کم میشود . این خاصیت واضح است چون اگر یک مد را حذف کنیم ضریب مدی مربوطه را باید مساوی صفر قرار دهیم و این

باعث میشود مقدار خطا افزایش یابد چون مقدار دامنه این مد درمینیمم ε صفر نیست این بدان میماند که ضرائب مدی را مقید^(۱) کنیم .

ت - معادله ماتریسی (۹) را بصورت :

$$(M_1 + \alpha M_2)V = (f_1 + \alpha f_2) \quad (17)$$

مینویسیم : تا بستگی معادله به α ظاهر شود . چون ماتریس های M_1 و M_2 هر می تی هستند معادله مقدار ویژه^(۲) :

$$M_n v_i = \lambda_i M_1 v_i \quad (18)$$

دارای مقدار ویژه های^(۳) حقیقی λ_i و توابع ویژه^(۴) v_i نسبت به ماتریس های وزنی^(۵) M_1 و M_2 متعامد هستند . (یعنی اگر $i \neq j$ باشد و $v_j^* M_1 v_i = 0$ و $v_j^* M_2 v_i = 0$) بنابراین بردار ضرائب مدی V را میتوان بصورت مجموع بردارهای پایه v_j نوشت :

$$V = \sum_i \beta_i v_i \quad (19)$$

در معادله (۱۷) بازاء V مقدار آنرا از معادله (۱۹) قرار میدهیم . و عبارت حاصل را در v_j^* ضرب میکنیم تا β_j بدست آید :

$$\beta_j = \frac{v_j^* (f_1 + \alpha f_2)}{1 + \alpha \lambda_j} \frac{1}{v_j^* M_1 v_i}$$

چون

$$v_i^* M_1 v_i = \lambda_i v_i^* M_2 v_i$$

بنابراین :

$$V = \sum_i \frac{v_i^* (f_1 + \alpha f_2)}{1 + \alpha \lambda_i} v_i \quad (20)$$

فرض میکنیم توابع ویژه نرمالیزه^(۷) شده اند یعنی هر بردار v_i را بر $(v_i^* M_1 v_i)^{1/2}$ تقسیم میکنیم . هرگاه مقادیر ویژه λ_i و توابع ویژه v_i را محاسبه کنیم میتوانیم ضرائب مدی را برای مقادیر مختلف α توسط رابطه (۲۰) محاسبه کنیم بدون آنکه معکوس کردن ماتریس $\langle L^*, L \rangle$ برای مقادیر مختلف α لازم باشد .

1. constraint

2. eigenvalue equation

معادله قدر مشخصه

3. eigenvalue قدرت مشخصه

4. eigenfunction

تابع مشخصه

5. weight

6. basis function

7. normalized

برنامه‌ریزی روش عددی کمترین مربع‌های برای ماشین محاسبه

برای تفسیر و توجیه نتایج حاصل از برنامه ماشین محاسبه که برای حل مسائل ناهمواریهای موج‌برها می‌نویسیم چندین نکته را باید بخاطر داشته باشیم .

هرگاه میدان الکتریکی و مغناطیسی را در سطح اتصال دوج‌بر بدانیم ، می‌توانیم میدان الکترو-مغناطیس درون موج‌بر را بدست آوریم . چون بسط مدی را میتوان بعنوان سری فوریه میدان تلقی کرد ، با دانستن میدان الکتریکی و مغناطیسی مماس بر سطح اتصال ، دامنه‌های مدی (یا ضرائب فوریه) را میتوان مستقیماً بدست آورد . و نکته قابل توجه اینست که مقدار آنها به تعداد مدهائی که درون موج‌بر فرض میکنیم بستگی ندارد . اما در مسئله مورد نظر میدان درون سطح اتصال نامعلوم است . میدان داخل موج‌برها را توسط بسط مدی تقریب میکنیم و این بسط‌های مدی را در پیوندگاه (حدود منطقه) تعیین میکنیم . در نتیجه اندازه ضرائب مدی به تعداد مدهائی که فرض میکنیم بستگی دارد .

بدیهی است اندازه نسبی ضرائب مدی که در یک موج‌بر تحریک میشود به ناهمواری بستگی دارد و آنها را میتوان با فرض میدان الکتریکی مماس بر پیوندگاه تخمین زد . بسط مدی میدان درون موج‌بر باید در پیوندگاه مساوی میدان الکترومغناطیس پیوندگاه باشد . برای مثال ناهمواری پله پائین^(۱) در موج‌بر با صفحات موازی را در نظر میگیریم و با مد $TM^{(۲)}$ تغذیه میکنیم . (در مد TM میدان مغناطیسی مؤلفه‌ای در امتداد محور ندارد) میدان الکتریکی را میتوان توسط سری کوسینوسی بسط داد چون برای اینحالت تابع مدی کوسینوس است .

میدان الکتریکی E_t در سطح اتصال را ممکن است توسط تابع پله‌ای^(۳) تقریب کرد . E_t را روی غشاء فلزی صفر و بر روی روزنه ثابت فرض میکنیم . ولی بسط سری کوسینوس تابع پله‌ای هارمونیک زوج ندارد بنابراین پیش‌بینی میکنیم که اندازه ضرائب مدی زوج از اندازه ضرائب مدی فرد کوچکتر است . (مدپخش شونده میدان TM با شاخص صفر 0 مشخص میشود) .

میدان الکترومغناطیسی که روش کمترین مربع‌ها بدست میدهد، شرایط لبه‌ای^(۴) را ارضاء میکنند . بنابراین نوع ناهمواری (پله ، غشاء فلزی نازک و غیره) و بودن یا نبودن بعضی از مؤلفه‌های میدان (خواه مؤلفه میدان در مقطع موج‌بر بوده و یا مؤلفه‌ای در امتداد محور موج‌بر داشته باشد) مؤلفه‌ای از میدان الکتریکی و یا مغناطیسی ممکن است منفرد باشد . (به سوی بینهایت میل کند .) میدان الکتریکی مد TM درون موج‌بر با صفحات موازی در امتداد ارتفاع است . برای ناهمواری پله پائین در شکل ۳ مؤلفه

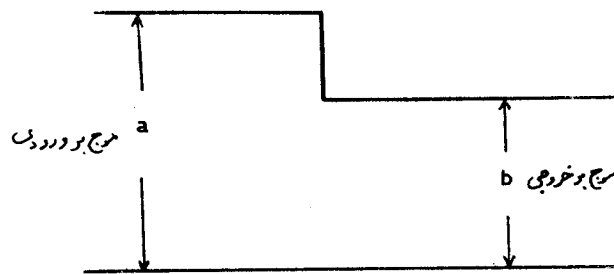
1 . step-down discontinuity

2 . transverse magnetic

3 . step function

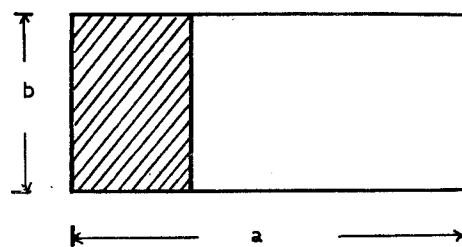
4 . edge condition [۱۱]

مماس میدان الکتریکی (درمقطع) درلبه پله منفرداست و قدرمطلق میدان الکتریکی E_z روی روزنه نوسان میکند و دامنه نوسانات در نزدیکی لبه زیادتر میشود . برای ناهمواری سلفی^(۱) در موج بر مستطیلی (مثلاً



شکل ۳ - پله پائین در موج بر با صفحات موازی ($a > b$)

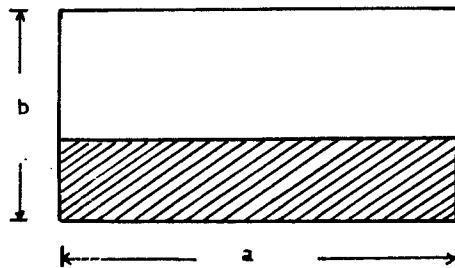
غشاء بسیار نازک فلزی مستطیلی شکل در امتداد ضلع کوچکتر موج بر مستطیلی مطابق شکل ϵ) که توسط مد پخش شونده TE_{10} تغذیه میشود، برای ارضای شرایط حدی تنها مدهای TE_{m0} (برای $m \geq 1$) صحیح) لازم بوده و البته تنها این مدها تحریک میشوند . میدان الکتریکی در امتداد لبه غشاء فلزی ممتد است و در لبه غشاء منفرد نمیشود . تغییرات اندازه میدان الکتریکی در پیوندگاه بر روی روزنه تقریباً بشکل نیم موج سینوسی است و روی غشاء فلزی تقریباً صفر است .



شکل ۴ - ناهمواری سلفی در موج بر مستطیلی ($a > b$)

هر گاه موج بر مستطیلی با ناهمواری خازنی^(۲) (غشاء بسیار نازک فلزی مستطیلی شکل در امتداد ضلع بزرگتر موج بر مستطیلی مطابق شکل ϵ) را توسط مد پخش شونده TE_{10} تغذیه کنیم تنها مدهای TE_{1n} ($n \geq 0$ عدد صحیح) و TM_{1n} ($n \geq 1$ عدد صحیح) ظاهر میشوند، که البته برای ارضای شرایط حدی لازم و کافی هستند چون مؤلفه میدان الکتریکی در امتداد محور موج بر وجود دارد و میدان را منفرد میکنند . یک برنامه مائین محاسبه برای ناهمواری پله پائین در موج بر با صفحات موازی که توسط مد TM تغذیه میشود برای بررسی امکانات روش کمترین مربع ها تدوین شده است . تعداد مدهای موج بر ورودی و خروجی را میتوان بدلیخواه انتخاب کرد . برای مثال فرض میکنیم در یک موج بر پله پائین نسبت

بین ارتفاع ها $\frac{.۰۴}{.۰۲}$ باشد و تعداد مدها در هر موج بر $N=P=40$ اختیار میکنیم طول موج $\lambda=1$ و عامل وزنی $\alpha = \frac{1}{\omega^2 \epsilon_0^2}$ دامنه مد پخش شونده تابش $A_0^+ / \sqrt{.4} = 1$ است .



شکل ۵ - ناهماری هازنی در موج بر مستطیلی ($a > b$)

بعد از معکوس کردن ماتریسی با ابعاد 40×40 ضرائب مدی برگشت را بدست میآوریم . ضریب

مد برگشت پخش شونده $A_0^- \sqrt{.4} = -0.397 - j - 1960$ است . ادمیتانس معادل

$(A_0^+ - A_0^-) / (A_0^+ + A_0^-) = 2 + j.977$ است، سسپتانسی^(۱) که مرجع [۳] میدهد با یک درصد بیراهی ۰.۹۶۸ است . دو مقدار سسپتانس فوق کمتر از یک درصد باهم اختلاف دارند در شکل ۶ اندازه چهل مد

برگشت را روی مقیاس لگاریتمی میکشیم . از شرط لبه ای نتیجه گرفته میشود که $A_n^- \sim n \frac{-5}{3}$

(n شماره مد است) و در شکل ۶ نیز واضح است که قدر مطلق دامنه مدها در اطراف خط مستقیمی باشیب

$-\frac{5}{3}$ پخش شده اند . در شکل ۷ اندازه شدت میدان الکتریکی مماس بر سطح اتصال را در امتداد خط

$\frac{a}{2} = \frac{.6}{2}$ میکشیم E_t بر روی غشاء فلزی صفر میشود . بواسطه پیوستگی مؤلفه های مماس H_t و E_t

نسبت های $\left| \frac{E_t^1}{E_t^2} \right|$ و $\left| \frac{H_t^1}{H_t^2} \right|$ را روی روزنه محاسبه میکنیم و در همان شکل ۷ ترسیم میکنیم این نسبت ها تقریباً یک هستند .

برنامه ای دیگر برای اتصال دو موج بر مستطیلی تهیه شد . منبع تغذیه موج بر میتواند مد تابش

TE و یا TM باشد که احياناً میرا و یا پخش شونده هستند . به همچنین منبع تغذیه میتواند جریان برق

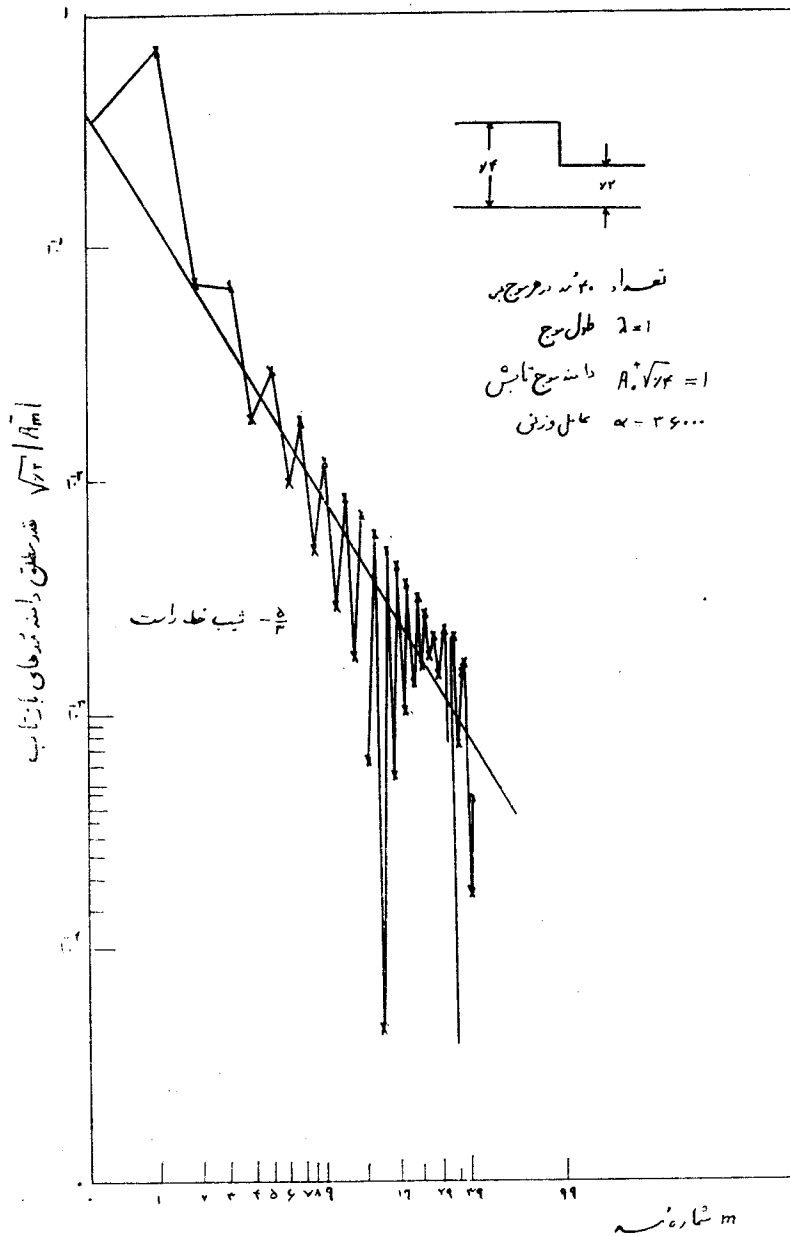
الکتریکی باشد که در سطح اتصال از منطقه ای از روزنه ها میگذرد . محورها و اضلاع دو موج مستطیلی را

موازی فرض میکنیم . موج بر خروجی در طرف راست با بار خود منطبق شده است . (در موج بر خروجی مدهای

برگشت موجود نیست .) هر تعداد روزنه میتواند موجود باشد و فرض میکنیم اضلاع این روزنه ها با اضلاع

موج برها موازی هستند . این فرض اسکان آنرا میدهد که انتگرال های سطحی مربوطه را بتوانیم بطور نظری

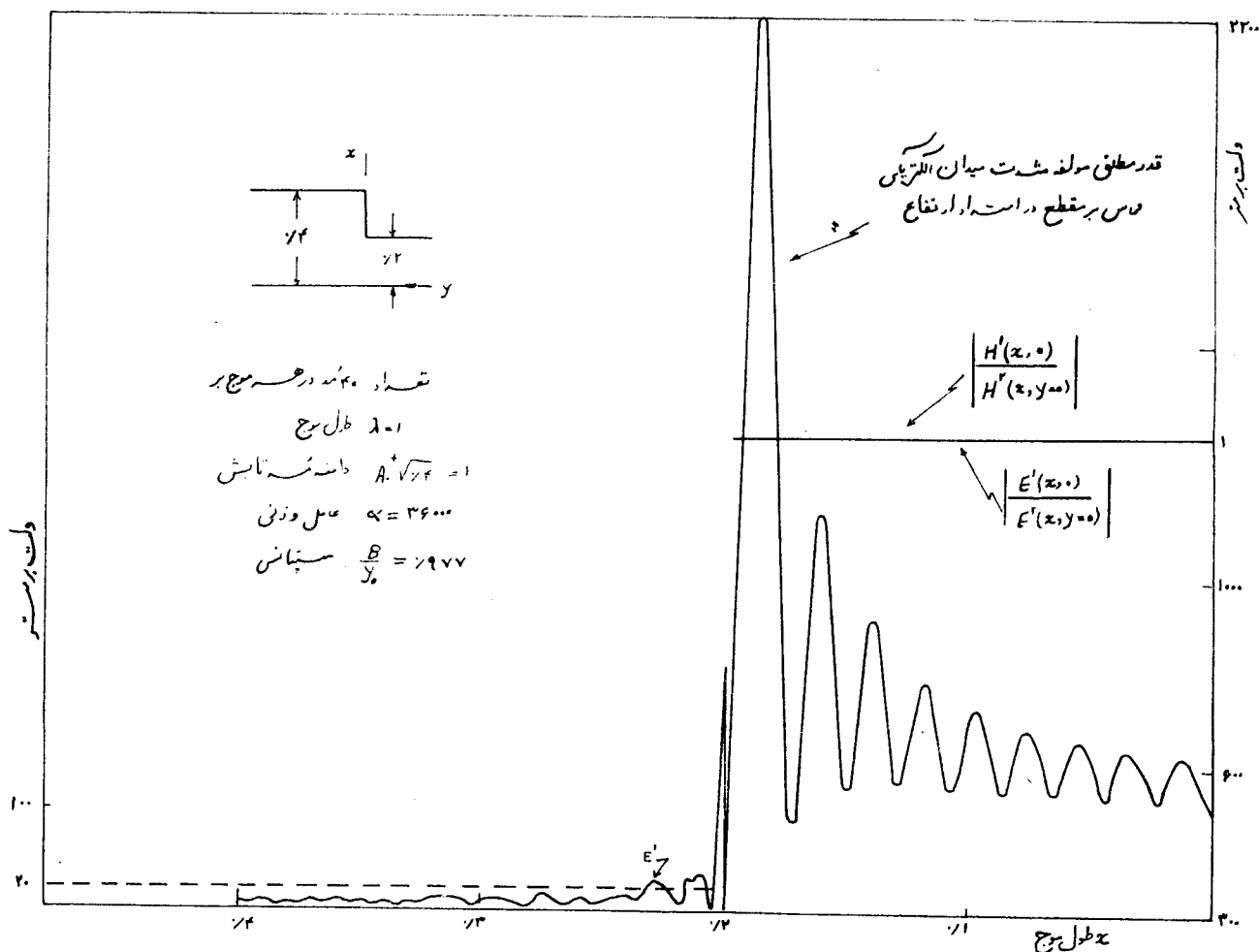
1. susceptance (خود گیری)



شکل ۶ - ناهمواری پله پائین در موج بر با صفحات موازی - قدرمطلق دامنه مدهای بازتاب

حل-کنیم . ولی برای روزنه‌هایی که دارای مرز دلخواه هستند باید روش‌های عددی انتگرال‌گیری بکار برد . مدار معادل بسیاری از ناهمواریها را میتوان توسط این روش بدست آورد . مدارهای معادل بسیاری از ناهمواریها مثل پله پائین و پله بالای متقارن و نامتقارن، غشاء فلزی سلفی و یا خازنی متقارن و نامتقارن در [۳] داده شده است . بسیاری از حالات که در مطبوعات علمی موجود نیامده است مثل غشاء فلزی بشکل L، پیوندگاه لغزیده^(۱) دوجوجه مستطیلی، چندین غشاء یکنواخت فلزی و غیره توسط روش حاضر

حل شده و در [۱۳] جمع آوری شده است. هرگاه موج برهائی که در دو طرف پیوندگاه قرار دارند همانند باشند، تعداد ضرائب مدی مجهول نصف میشود. یک برنامه دیگر نیز برای اینحالت تهیه شده است [۱۳].

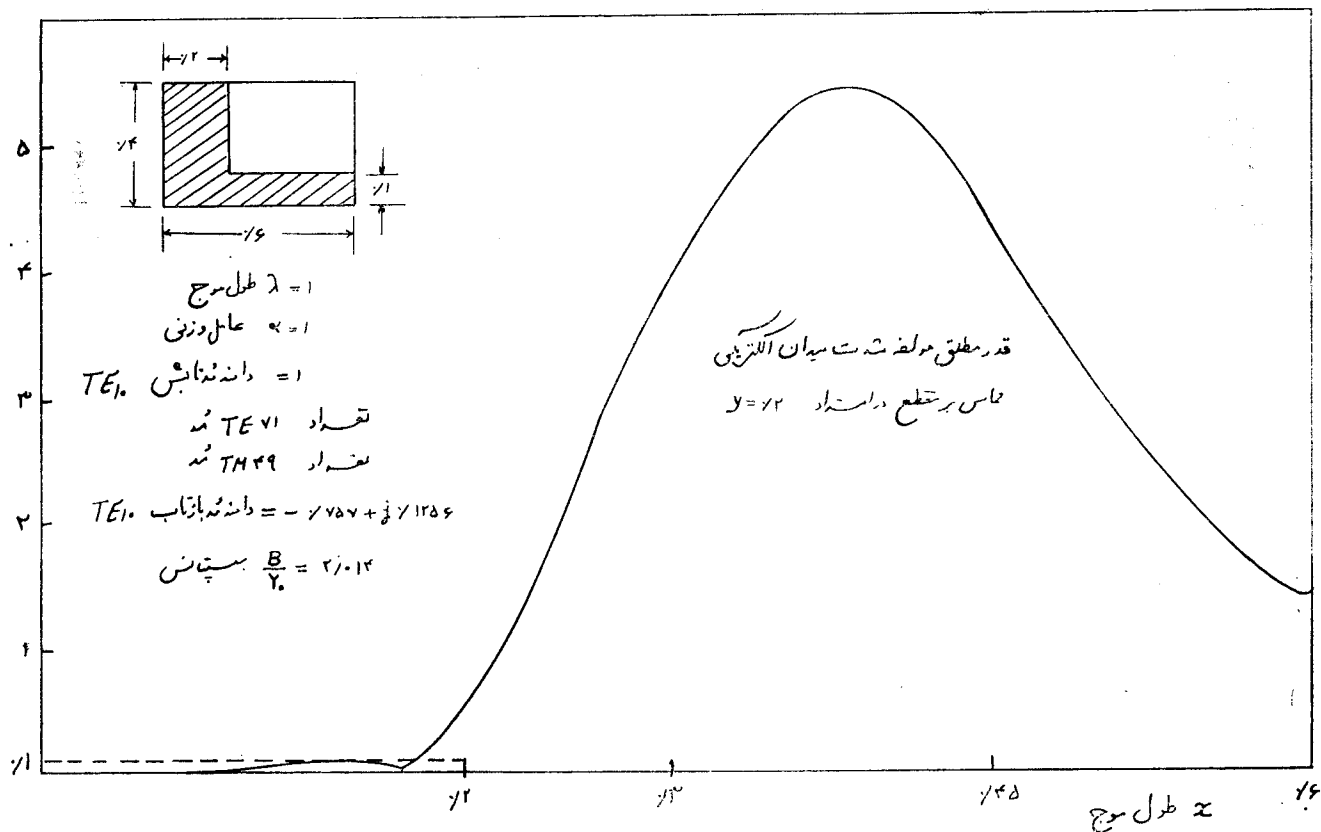


شکل ۷ - ناهمواری پله پائین در موج بر با صفحات موازی - قدر مطلق شدت میدان الکتریکی در امتداد ارتفاع

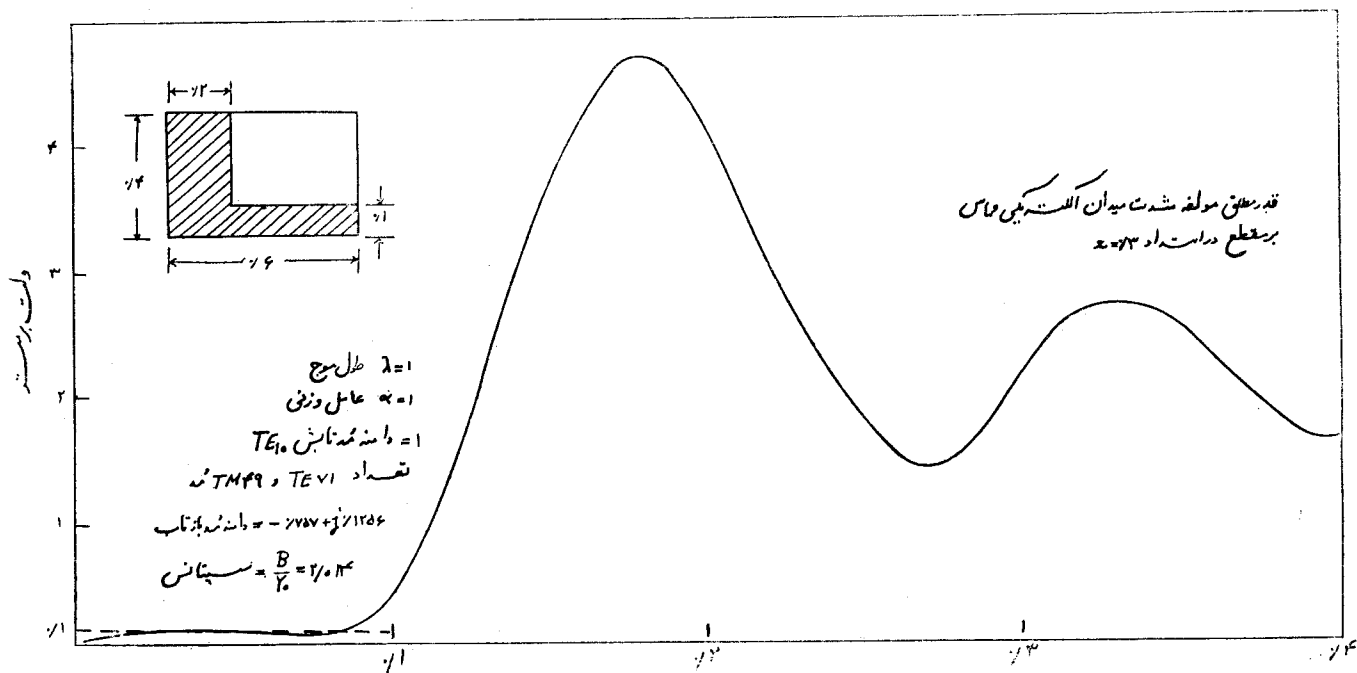
در این برنامه‌های کامپیوتری از خاصیت هرسی تی ماتریس استفاده نشده است.

برای مثال در شکل‌های ۸ و ۹ شدت میدان الکتریکی مماس بر سطح مقطع را برای غشاء نازک فلزی بشکل L به ترتیب در امتدادهای $x=0.3$ و $y=0.2$ ترسیم میکنیم. واضح است که شرایط حدی بخوبی ارضاء شده‌اند. شدت میدان الکتریکی مماس بر سطح اتصال خازنی دو موج بر مستطیلی مختلف را نیز در شکل ۱۰ نمایش میدهم در اشکال فوق پارامترهای مختلف را ذکر میکنیم و مدار معادل را محاسبه کرده‌ایم.

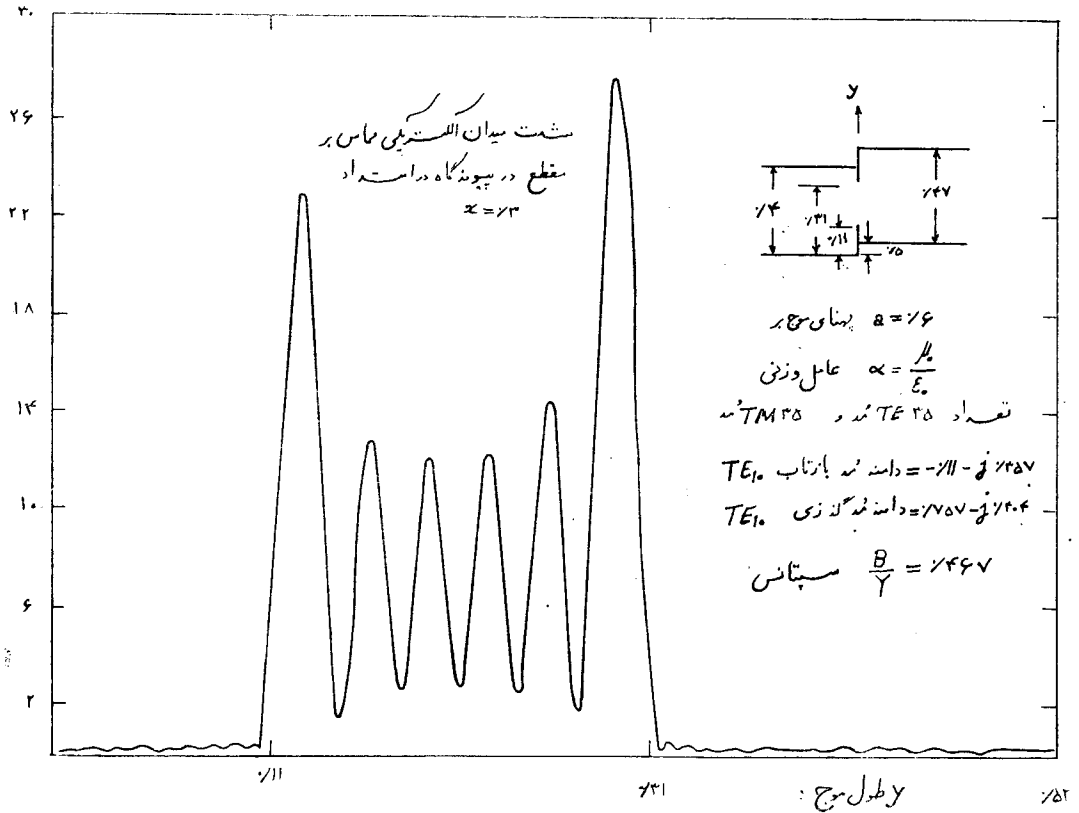
از اصل بقای انرژی بعنوان معیاری برای انتخاب عامل وزنی α و تعداد مدها استفاده میکنیم.



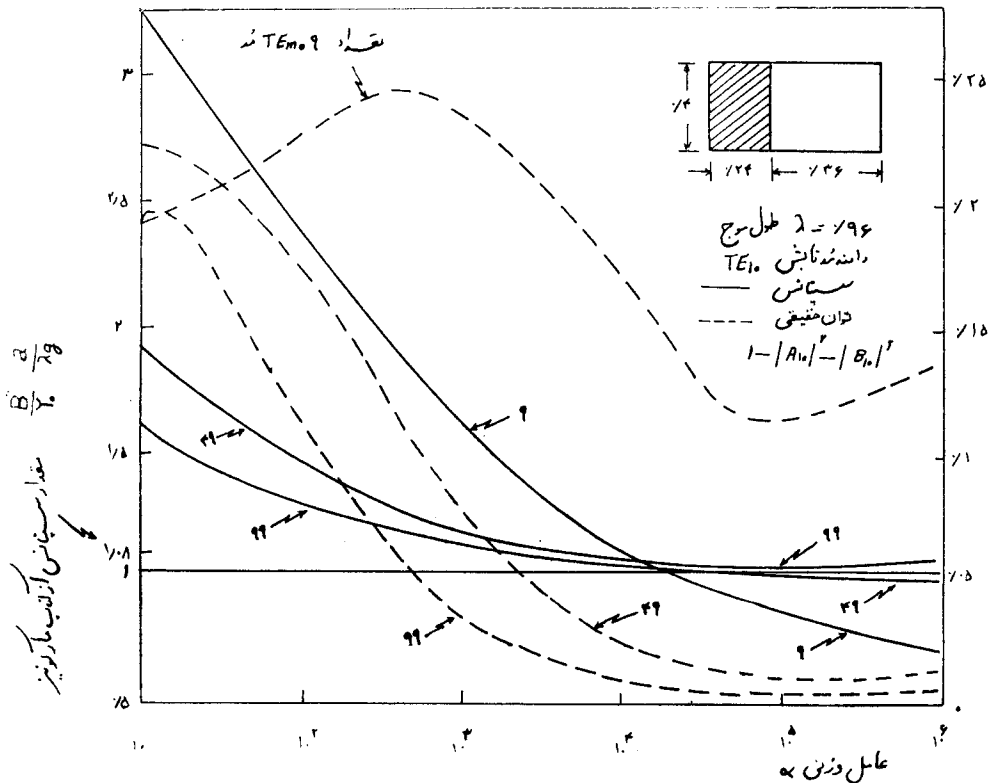
شکل ۸ - غشاء بشکل L در مقطع موج بر مستطیلی قدر مطلق مؤلفه شدت میدان الکتریکی
مماس بر مقطع در امتداد $y = 0.2$



شکل ۹ - غشاء بشکل L در موج بر مستطیلی - مؤلفه شدت میدان الکتریکی
مماس بر مقطع در امتداد $x = 0.3$



شکل ۱۰ - اتصال خازنی دو موج بر مستطیلی - قدر بطن مؤلفه شدت میدان الکتریکی
 مماس بر مقطع در امتداد $x = 0.3$



شکل ۱۱ - سیپتانس و توان حقیقی - غشاء فلزی سلفی ناستقار

از نظر فیزیکی انرژی حقیقی نباید از بین برود. ضریب مد پخش شونده را هم برای محاسبه مدار معادل و هم برای محاسبه توان حقیقی بکار میبریم. بنابراین تا آنجائیکه مربوط به مدار معادل است بهترین عامل وزنی برای حالتی است که اصل بقای انرژی بهتر ارضاء میشود. مدار معادل (مقدار سوهومی ادمیتانس نرمالیزه شده) برای غشاء فلزی سلفی را بر حسب مقادیر مختلف برای تعداد مختلف مدها در شکل ۱۱ ترسیم میکنیم. اختلاف انرژی حقیقی در موج تابش و مجموع انرژی موجهای برگشت و منتقل شده به عبارت:

$$P_r = |A_{10}^+|^2 - |A_{10}^-|^2 - |B_{10}|^2$$

ساده میشود. که در همان شکل ۱۱ ترسیم میکنیم. منحنی حسپتانس B برای تعداد بیشتر مد شیب کمتری دارد و نسبت به عامل α کمتر حساسیت نشان میدهد. به همین هر قدر تعداد مدها بیشتر شود مقدار P_r کمتر میشود. مینیمم P_r بسیار وسیع است و در اطراف مینیمم P_r مقدار B تغییرات کمی دارد. نتیجه میگیریم که حداقل میتوانیم مقادیری برای α بدست آوریم. برای اینحالت مدار معادلی که مرجع [۳] میدهد $B=1.08$ است و تقریباً در مینیمم P_r قرار دارد.

مراجع

1. Schwinger, J., Saxon, D. «Discontinuities in Waveguides, Notes on Lectures by J. Schwinger», Gordon and Breach, New York, 1968.
2. Lewin, L., «Advanced Theory of Waveguides», Illiffe and Sons, Ltd., London, 1951.
3. Marcuvitz, N., ed. «Waveguide Handbook», McGraw-Hill Book co., New York, 1951.
4. Mitra, R. «Relative Convergence of the Solution of a Doubly Infinite Set of Equations», J. Res. Natl. Bur. Std., 67D, pp. 245-254, 1963.
5. Claricoats, P. J. B., Slinn, K. R., «Numerical Solution of Waveguide Discontinuity Problems», Proc. IEEE, vol. 114, No. 7, pp 878-886, July, 1967.
6. Wexler, A., «Solution of Waveguide Discontinuities by Modal Analysis», Trans. Microwave Theory & Technique, vol. MTT-15, No. 9, pp. 508-517, September, 1967.

7. Lee, S. W., Jones, W. R., Campbell, J. J., «Convergence of Iris—Type Discontinuity Problems», Microwave Theory & Technique, vol MMT—19, No. 6, pp. 528—536, June, 1971.
8. Thong, V. K., «Solutions of Some Waveguide Discontinuities by the Method of Moments», Microwave Theory & Techniques, vol. MTT—20, No. 6, June 1972.
9. Harrington, R. F., «Time Harmonic Electromagnetic Fields», McGraw-Hill Book co., New York, 1961.
10. Harrington, R. F., «Field Computation by Moment Methods», The Mac Millan co., New York, p. 192, 1968.
11. Mittra, R., Lee, S. W., «Analytical Techniques in the Theory of Guided Waves», The MacMillan co., New York.
12. Hildebrand, F. B., «Methods of Applied Mathematics», Prentice Hall, Inc., Englewood Cliffs, New Jersey, 1965.
13. Oraizi, H., «A Numerical Method for the Solution of Waveguide Discontinuities», Ph. D. Dissertation, 1973, Technical Report TR—73—8, Department of Electrical & Computer Engineering, Syracuse U., Syracuse, N. Y.
14. «مجموعه اصطلاحات علمی»، انجمن اصطلاحات علمی: قسمت اول و دوم، تهران ۱۳۳۰
15. «واژه‌های علمی در درس نگره‌کاهنربائی»، محمود حسابی دانشگاه تهران ۱۳۴۰